

## ЛІТЕРАТУРА

1. Мусхелишвили Н. И. Некоторые основные задачи математической теории упругости. «Наука», М., 1966.
  2. Мартинович Т. Л. Обобщение теоремы Бетти—Максвелла в двумерной теории упругости. Прикладная механика, т. II, в. 3, 1966.
  3. Шереметьев М. П. Пластинки с подкрепленным краем. Изд-во Львовского ун-та, Львів, 1960.
- 

УДК 593.3

*Т. Л. МАРТИНОВИЧ, І. О. НІЩЕНКО*

### ПРО ОДИН СПОСІБ РОЗВ'ЯЗУВАННЯ ЗАДАЧІ ЗГИНУ АНІЗОТРОПНИХ ПЛИТ

Розглянемо тонку однорідну анізотропну плиту, серединна площаина якої займає область  $S$ , обмежену простими гладкими замкнутими контурами  $L_1$  та  $L_2$  ( $L=L_1+L_2$ ). В кожній точці плити існує площаина пружної симетрії, паралельна серединній площині плити.

1. Нехай внутрішній контур  $L_1$  підкріплений тонким пружним стержнем постійного поперечного перерізу з жорсткістю  $A$  — на згин та жорсткістю  $C=A/k$  — на кручення. Будемо вважати, що стержень спаяний з плитою до деформації і що одна з головних осей інерції по-перечного перерізу стержня лежить в серединній площині плити. На стержень діють згидаючі моменти  $m_1(s)$  та згидаючі зусилля  $p_1s$ , а на контурі  $L_2$  — згидаючі моменти  $m_2(s)$  та згидаючі зусилля  $p_2(s)$ .

Якщо область  $S$  необмежена, то контур  $L_2$  віддалений в нескінченість. Під час обходу область  $S$  залишається зліва.

Щоб одержати граничні умови задачі, мислено відокремимо стержінь від плити, а його дію на останню замінимо або зусиллями  $M_n$ ,  $N_n + \partial H_{sn} / \partial s$ , або значеннями прогинів  $w$  та їх нормальної похідної  $\partial w / \partial n$  точок контура  $L_1$ . Відповідно до такої заміни для плити можна розв'язувати або першу основну задачу, граничні умови для якої згідно з [3] в диференціальній формі мають вигляд:

$$dV = d \left[ \left( q_1 + i \frac{p_1}{\mu_1} \right) \Phi(z_1) + \left( \bar{q}_1 + i \frac{\bar{p}_1}{\mu_1} \right) \bar{\Phi}(z_1) + \right. \\ \left. + \left( q_2 + i \frac{p_2}{\mu_2} \right) \psi(z_2) + \left( \bar{q}_2 + i \frac{\bar{p}_2}{\mu_2} \right) \bar{\psi}(z_2) \right] = \begin{cases} -I_0(t) dt & \text{на } L_1; \\ -I_2(t) dt & \text{на } L_2, \end{cases} \quad (1.1)$$

або основну змішану задачу, граничні умови для якої такі:

$$dU = d[(1+i\mu_1)\Phi(z_1) + (1+i\bar{\mu}_1)\bar{\Phi}(z_1) + (1+i\mu_2)\psi(z_2) + \\ + (1+i\bar{\mu}_2)\bar{\psi}(z_2)] = -id \left[ i \left( \frac{\partial w}{\partial n} + i \frac{\partial w}{\partial s} \right) \right] \quad \text{на } L_1, \\ dV = -I_2(t) dt \quad \text{на } L_2. \quad (1.2)$$

Тут позначено

$$I_0(t) = M_n + i \int_{t_0}^t \left( N_n + \frac{\partial H_{sn}}{\partial s} \right) ds + iC_0,$$

$$I_j(t) = m_j(t) + i \int_{t_0}^t p_j(s) ds + iC_j \quad (j=1, 2, \dots),$$

$\mu_j$  — корені характеристичного рівняння,  $z_j = x + \mu_j y$ ,

$$p_j = \frac{h^3}{12} (a_{11} + a_{12}\mu_j^2 + 2\mu_j a_{16}),$$

$$q_j = \frac{h^3}{12} (a_{12} + a_{22}\mu_j^2 + 2\mu_j a_{26}),$$

$a_{11}, a_{12}, a_{22}, a_{16}, a_{26}$  — пружні характеристики матеріалу плити [1].

Домножимо рівності (1.1), (1.2) та їм комплексно спряжені на довільну функцію  $F(z)$ , голоморфну в області  $S$ , і проінтегруємо вздовж відповідних контурів. В результаті одержимо граничні умови у вигляді контурних інтегралів, що містять довільну функцію  $F(z)$ :

$$\begin{aligned} \int_L F(t) dV &= - \int_{L_1} F(t) I_0(t) dt - \int_{L_2} F(t) I_2(t) dt, \\ \int_L \overline{F(t)} dV &= - \int_{L_1} \overline{F(t)} I_0(t) dt - \int_{L_2} \overline{F(t)} I_2(t) dt, \\ \int_{L_1} F(t) dU + \int_{L_2} F(t) dV &= -i \int_{L_1} F(t) d \left[ t \left( \frac{\partial w}{\partial n} + i \frac{\partial w}{\partial s} \right) \right] - \int_{L_2} F(t) I_1(t) dt, \\ \int_{L_1} \overline{F(t)} dU + \int_{L_2} \overline{F(t)} dV &= -i \int_{L_1} \overline{F(t)} d \left[ t \left( \frac{\partial w}{\partial n} + i \frac{\partial w}{\partial s} \right) \right] - \int_{L_2} \overline{F(t)} I_1(t) dt. \end{aligned} \quad (1.3)$$

Розглядаючи рівновагу та деформацію елемента стержня, що знаходиться під дією внутрішніх згидаючих та скручуючих моментів  $L_n, L_\tau$ , зусиль  $M_n, N_n + \partial H_{sn}/\partial s$  з боку плити, зовнішніх згидаючих моментів  $m_1(s)$  та згидаючих зусиль  $p_1(s)$ , можна встановити, згідно з [2, 4], такі залежності:

$$\begin{aligned} d[t(L_n + iL_\tau)] &= iI_0(t) dt - iI_1(t) dt, \\ d \left[ t \left( \frac{\partial w}{\partial n} + i \frac{\partial w}{\partial s} \right) \right] &= \frac{i}{2A} [(1+k)(L_n + iL_\tau) + (1-k)(L_n - iL_\tau)] dt. \end{aligned} \quad (1.4)$$

Підставляючи (1.4) в (1.3), одержуємо інтегральні співвідношення, які служать для визначення функцій  $\varphi(z_1), \psi(z_2)$ , а також внутрішніх моментів в стержні  $L_n, L_\tau$ :

$$\begin{aligned} \int_L F(t) dV &= -i \int_{L_1} t(L_n + iL_\tau) dF(t) - \int_{L_1} F(t) I_1(t) dt - \int_{L_2} F(t) I_2(t) dt, \\ \int_L \overline{F(t)} dV &= -i \int_{L_1} \overline{t(L_n + iL_\tau)} d\overline{F(t)} - \int_{L_1} \overline{F(t)} I_1(t) dt - \int_{L_2} \overline{F(t)} I_2(t) dt, \\ \int_{L_1} F(t) dU + \int_{L_2} F(t) dV &= - \int_{L_2} F(t) I_2(t) dt + \\ &+ \frac{1}{2A} \int_{L_1} F(t) [(1+k)(L_n + iL_\tau) + (1-k)(L_n - iL_\tau)] dt, \end{aligned} \quad (1.5)$$

$$\int_{L_1} \overline{F(t)} dU + \int_{L_2} \overline{F(t)} dV = - \int_{L_1} \overline{F(t)} I_2(t) dt + \\ + \frac{1}{2A} \int_{L_1} \overline{F(t)} [(1+k)(L_n+iL_\tau) + (1-k)(L_n-iL_\tau)] dt.$$

2. Розглянемо задачу про згин моментами  $M_x^\infty$ ,  $M_y^\infty$ ,  $M_{xy}^\infty$  анізотропної плити з еліптичним отвором, край якого підкріплений пружним стержнем.

Будемо за вихідну брати область  $S$ , яка розміщена між двома співфокусними еліпсами  $L_1$ ,  $L_2$ , причому  $L_2$  віддалений в нескінченості.

Конформно відображаємо область  $S$  на кільце, яке розміщене між концентричними колами  $\gamma_1$ ,  $\gamma_2$  радіусів  $q_1=1$ ,  $q_2=\infty$ , поклавши

$$z=\omega(\zeta)=R\left(\zeta + \frac{m}{\zeta}\right), \quad |m|<1, \quad (2.1)$$

де

$$R = \frac{a_1+b_1}{2}, \quad m = \frac{a_1-b_1}{a_1+b_1}$$

$a_1$ ,  $b_1$  — півосі еліпса  $L_1$ .

Тоді, очевидно, функції

$$z_j=\omega_j(\zeta_j)=\frac{1}{2}\left\{\left[(1+m)-i(1-m)\mu_j\right]\zeta_j+\left[(1+m)+i(1-m)\mu_j\right]\frac{1}{\zeta_j}\right\} \quad (2.2)$$

будуть конформно переводити відповідні області зміни  $z_1$ ,  $z_2$  на зовнішність одиничного кола  $\gamma_1$ , причому для контурних точок  $\gamma_1$  змінні  $\zeta$ ,  $\zeta_1$ ,  $\zeta_2$  набирають одне й те ж значення  $\sigma=e^{i\alpha}$ .

Функції  $\Phi(\zeta_1)=\varphi[\omega_1(\zeta_1)]$ ,  $\Psi(\zeta_2)=\psi[\omega_2(\zeta_2)]$ ,  $F_1(\zeta)=F[\omega(\zeta)]$ , голоморфні зовні одиничного кола  $\gamma_1$ , включаючи нескінченно віддалену точку, можна розкласти в ряди Лорана, а величину  $L_n+iL_\tau$  — в комплексний ряд Фур'є:

$$\begin{aligned} \Phi(\zeta_1) &= A_0 + \sum_{n=1}^{\infty} A_n \zeta_1^{-n}, & \Psi(\zeta_2) &= B_0 + \sum_{n=1}^{\infty} B_n \zeta_2^{-n}, \\ F_1(\zeta) &= \sum_{n=0}^{\infty} E_n \zeta^{-n}, & L_n + iL_\tau &= \sum_{n=-\infty}^{\infty} \alpha_n \sigma^n. \end{aligned} \quad (2.3)$$

Сталі  $A_0$ ,  $B_0$  визначаються з умов на нескінченості [3]. Підставивши (2.1), (2.3) в співвідношення (1.5) та виконавши інтегрування, одержимо нескінченну систему лінійних алгебраїчних рівнянь відносно коефіцієнтів  $A_n$ ,  $B_n$ ,  $\alpha_n$ .

Ця система має такий вигляд:

$$\begin{aligned} \left(q_1 - i\frac{p_1}{\mu_1}\right) A_{j+1} + \left(q_2 - i\frac{p_2}{\mu_2}\right) B_{j+1} &= -\bar{H}_3 + \bar{Q}_3 \delta_{j1}, \\ \left(q_1 + i\frac{p_1}{\mu_1}\right) A_{j+1} + \left(q_2 + i\frac{p_2}{\mu_2}\right) B_{j+1} &= H_4 - Q_4 \delta_{j1}, \\ (1-i\mu_1) A_{j+1} + (1-i\mu_2) B_{j+1} &= (\bar{Q}_1 + \bar{Q}_3) \delta_{j1} - \bar{H}_1, \\ (1+i\mu_1) A_{j+1} + (1+i\mu_2) B_{j+1} &= -(Q_2 + Q_4) \delta_{j1} + H_2, \end{aligned} \quad (j=1, 2, 3, \dots). \quad (2.4)$$

Тут введені позначення:

$$Q_1 = \left[ (1 - q_1) + i \left( \mu_1 - \frac{p_1}{\mu_1} \right) \right] A_0 + \left[ (1 - q_2) + i \left( \mu_2 - \frac{p_2}{\mu_2} \right) \right] B_0,$$

$$Q_2 = \left[ (\bar{q}_1 - 1) + i \left( \bar{\mu}_1 - \frac{\bar{p}_1}{\bar{\mu}_1} \right) \right] \bar{A}_0 + \left[ (\bar{q}_2 - 1) + i \left( \bar{\mu}_2 - \frac{\bar{p}_2}{\bar{\mu}_2} \right) \right] \bar{B}_0,$$

$$Q_3 = -\frac{M_x^* + M_y^*}{2} R, \quad Q_4 = \frac{M_y^* - M_x^* + 2iH_{xy}^*}{2} R,$$

$$H_1 = 0.5 A^{-1} [(1+k)(\alpha_{j-1} - m\alpha_{j+1}) + (1-k)(\bar{\alpha}_{-j+1} - m\bar{\alpha}_{-j-1})] R,$$

$$H_2 = 0.5 A^{-1} [(1+k)(\alpha_{-j-1} - m\alpha_{-j+1}) + (1-k)(\bar{\alpha}_{j+1} - m\bar{\alpha}_{j-1})] R,$$

$$H_3 = -\frac{j}{2\pi} \sum_{n=-\infty}^{\infty} \alpha_n (P_{|n-j+1|} - m P_{|n-j-1|}),$$

$$H_4 = \frac{j}{2\pi} \sum_{n=-\infty}^{\infty} \alpha_n (P_{|n+j+1|} - m P_{|n+j-1|}),$$

$$P_l = \int_{r_1^+}^{\infty} \frac{\sigma^l d\sigma}{V(m-\sigma^2)(1-m\sigma^2)} = \begin{cases} -4m^{\frac{l}{2}} \int_0^1 \frac{x^l dx}{V(1-x^2)(1-m^2x^2)} & \text{при } l \text{ парному;} \\ 0 & \text{при } l \text{ непарному.} \end{cases}$$

$$\delta_{jn} = \begin{cases} 1 & (j=n) \\ 0 & (j \neq n) \end{cases}$$

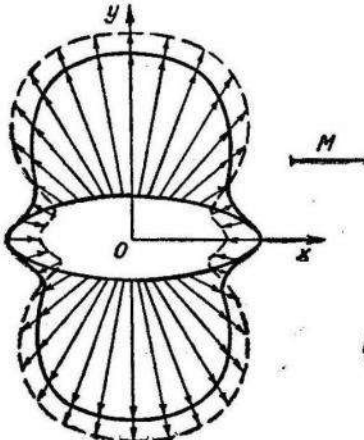


Рис. 1.

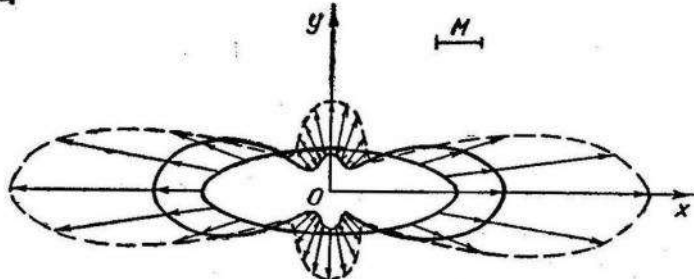


Рис. 2.

Виключивши з (2.4)  $A_{j+1}, B_{j+1}$ , дістанемо систему алгебраїчних рівнянь відносно коефіцієнтів  $\alpha_n$ :

$$\begin{aligned} & \frac{[H_4(q_k \mu_k - ip_k) + \bar{H}_3(\bar{q}_k \bar{\mu}_k + ip_k)] \mu_1 \mu_2}{\mu_k (q_1 \mu_1 p_2 - q_2 \mu_2 p_1)} - \frac{\bar{H}_1(1 + i\mu_k) + H_2(1 - i\mu_k)}{(\mu_2 - \mu_1)} = \\ & = \left\{ \frac{[\bar{Q}_3(\bar{q}_k \bar{\mu}_k + ip_k) + Q_4(q_k \mu_k - ip_k)] \mu_1 \mu_2}{\mu_k (q_1 \mu_1 p_2 - q_2 \mu_2 p_1)} - \frac{Q_3(1 + i\mu_k) + Q_4(1 - i\mu_k)}{\mu_2 - \mu_1} - \right. \\ & \left. - \frac{\bar{Q}_1(1 + i\mu_k) + Q_2(1 - i\mu_k)}{\mu_2 - \mu_1} \right\} \delta_{j1}, \quad (k=1, 2), \quad (j=1, 2, 3, \dots). \quad (2.5) \end{aligned}$$

Для числового аналізу нами розв'язувалась укорочена система рівнянь (2.5) для анізотропної плити, виготовленої з авіаційної фанери, що має пружні характеристики [1]:  $D_1 = 1,70 \cdot 10^5 \frac{h^3}{12}$ ,  $D_2 = 0,14 \cdot 10^5 \frac{h^3}{12}$ ,  $D_3 = 0,183 \cdot 10^5 \frac{h^3}{12}$ ,  $D_4 = 0,07 \cdot 10^5 \frac{h^3}{12}$ ,  $\nu_1 = 0,31$ ,  $\nu_2 = 0,026$ ,  $\mu_1 = 1,04 + 1,55i$ ,  $\mu_2 = -1,04 + 1,55i$ .

Крім того, було прийнято:  $A = 2.00 \cdot 10^5 \frac{h^3}{12}$ ,  $R = 10$ ,  $k = 1$ ,  $m = 0.5$ .

Розподіл згинаючих моментів  $M_t$  вздовж лінії спаю підкріплюючого стержня з плитою показано на рисунках, причому рис. 1 відповідає випадку  $M_x^\infty = M$ ,  $M_y^\infty = H_{xy}^\infty = 0$ , а рис. 2 —  $M_x^\infty = H_{xy}^\infty = 0$ ,  $M_y^\infty = M$ . Пунктирною лінією показано розподіл тих же моментів в плиті без підкріплення.

## ЛІТЕРАТУРА

1. Лехницкий С. Г. Анизотропные пластинки. Гостехиздат, М., 1957.
2. Лур'є А. И. О малых деформациях криволинейных стержней. Труды Ленинградского политехнического ин-та, раздел физико-матем. наук, № 3, 1941.
3. Савин Г. Н. Концентрация напряжений около отверстий. Гостехиздат, 1951.
4. Шереметьев М. П. Пластиинки с подкрепленным краем. Изд-во Львовского ун-та, 1960.

УДК 539.311

Є. І. ЛУНЬ, А. О. СЯСЬКІЙ

## ДО ВИЗНАЧЕННЯ КОНЦЕНТРАЦІЇ НАПРУЖЕНЬ БІЛЯ ЖОРСТКОГО КІЛЬЦЯ НА ПОВЕРХНІ КРУГОВОГО ЦИЛІНДРА

Задача про концентрацію напружень в циліндричній оболонці з круговим отвором, край якого підкріплений жорстким кільцем, розглядалась в працях [7, 4] методом А. І. Лур'є [3] з використанням рівнянь класичної теорії оболонок.

В цій статті дається розв'язок цієї задачі при використанні рівнянь уточненої теорії оболонок типу Тимошенка [1, 2, 8], які певним чином враховують деформації поперечних зсувів і забезпечують можливість задовільнити п'ятьма граничним умовам на контурі отвору.

Розглянемо кругову циліндричну оболонку товщиною  $2h$ , радіусом  $R$  з круговим отвором, підкріпленим жорстким кільцем.

На середній поверхні оболонки вибираємо декартову ( $X$ ,  $Y$ ) і полярну півгеодезичну ( $q$ ,  $\lambda$ ) системи координат, початок яких збігається з центром отвору. Вісь  $OX$  направлена по твірній, вісь  $OY$  — по дотичній до напрямної, кут  $\lambda$  відраховується від твірної. Основний напружений стан задається зусиллями:

$$\begin{aligned} T_\rho^0 &= h(p+q) + h(p-q) \cos 2\lambda; \\ T_\lambda^0 &= h(p+q) - h(p-q) \cos 2\lambda; \\ S_{\rho\lambda}^0 &= -h(p-q) \sin 2\lambda. \end{aligned} \quad (1)$$